Expressions of Epstein-Barr virus Related Factors and Angiogenic Factors in Nasopharyngeal Carcinomas

メタデータ	言語: jpn
	出版者:
	公開日: 2017-10-04
	キーワード (Ja):
	キーワード (En):
	作成者:
	メールアドレス:
	所属:
URL	http://hdl.handle.net/2297/9286

上咽頭癌における Epstein-Barr ウイルス関連因子および 血管新生因子の発現に関する研究

金沢大学医学部医学科耳鼻咽喉科学講座(主任:古川 仭教授) 脇 坂 尚 宏

ホルマリン固定、パラフィン包埋した上咽頭癌原発巣生検標本31例 (扁平上皮癌1例、分化型非角化癌22例、未分化癌7例、腺癌1例)を対象として、上咽頭癌における血管新生と所属リンパ節転移との関連性について検討した。腫瘍内微小血管を免疫組織化学的に抗フォン・ウィルブランド因子 (von Willebrand factor, vWF) 抗体を用いて標識し、光学顕微鏡下に200倍の視野で、組織内で最も微小血管の多い部位についてその数を計測して、それを上咽頭癌における血管新生の指標とした。血管新生因子の内、塩基性線維芽細胞増殖因子 (basic fibroblast growth factor, bFGF)、血管内皮増殖因子 (vascular endothelial growth factor, VEGF) および形質変換増殖因子 (transforming growth factor, TGF) - α の発現について、免疫組織化学法にて検索した。さらに、Epstein-Barr ウイルス (Epstein-Barr virus, EBV) と血管新生との関連性についても検索するため、EBV がコードする核内小RNA (EBV encoded small RNAs, EBERs) の発現を生体内局所ハイブリダイゼーション (in situ hybridization, ISH) 法により、また、潜伏膜蛋白-1 (latent membrane protein-1, LMP-1) の発現を免疫組織化学法により検索した。腫瘍内微小血管数と、所属リンパ節転移との間に有意な正の相関を認めた。bFGF、VEGF、TGF- α およびLMP-1の発現は、腫瘍内血管数と有意な正の相関を示し、VEGF およびTGF- α の発現は、所属リンパ節転移とも有意な正の相関を示した。重回帰分析の結果、LMP-1は、上咽頭癌における微小血管数に最も影響を与える因子であった。以上の事より、上咽頭癌のリンパ節転移において血管新生は重要な役割を果たしており、さらに、LMP-1は上咽頭癌の血管新生に重要な役割を果たしている事が示唆された。

Key words nasopharyngeal carcinoma, angiogenesis, metastasis, Epstein-Barr virus related factors, angiogenic factors

血管新生 (angiogenesis) とは、既存の血管から新しく毛細血 管が形成される基礎的な過程である". 近年, 腫瘍の増殖, 転 移と腫瘍血管新生との密接な関連性が明らかになって来てい る. Folkman ら³は、血管新生を伴わない腫瘍は1-2mm³以上 には増大せず、ところが血管新生が生じると急激に増大する事 を示し,腫瘍の増殖,転移は血管新生に依存するという仮説を 立てた. Lyngら³は、腫瘍細胞の分裂率は毛細血管から離れる につれて減少し、また、血液供給が多い腫瘍では分裂率が高く、 低い腫瘍では壊死率が上がる事を示し、腫瘍増殖は実際に血管 新生に依存する事が判明した、Srivastavaらかは、パラフィン包 埋された皮膚悪性黒色腫標本を用いて, 免疫組織化学的方法に より血管内皮細胞を標識し,腫瘍内血管の数を計測して,腫瘍 の大きさおよび転移が腫瘍内血管数と相関する事を示し、ヒト 悪性腫瘍の血管新生に関する研究に免疫組織化学的方法が有用 である事を初めて示した. この様に, 免疫組織化学的に血管内 皮細胞を標識する方法が考案されてから、パラフィンに包埋し て保管されている標本を利用した研究が進められ、乳癌り、脳 腫瘍",子宮頚癌",大腸癌"などで血管新生と臨床的背景因子 との関連性が明らかになってきている。腫瘍細胞が血管内皮細胞の増殖を刺激する事", さらにそれは腫瘍細胞から放出される因子による1¹⁰ 事が明らかとなり、Folkman²¹は、その様な因子を腫瘍血管新生因子(tumor-angiogenic factor)と名付けた。今日多くの腫瘍血管新生因子が分離同定されている¹¹¹.

上明頭癌とエプスタイン・パール・ウイルス (Epstein-Barr virus, EBV) の関連性については、Oldらい加清学的方法により初めて証明して以来、免疫学的方法™、分子生物学的方法™、生体内局所ハイブリダイゼーション (in situ hybridization, ISH) 法™によりほぼ明確になっている。上咽頭癌では他の頭頚部瘤と比較して所属リンパ節に転移を来す割合が高く、診断時には75%で既に転移を来している™さらに、上咽頭癌は粘膜下に浸潤性に発育する傾向を有し、頚部リンパ節転移集のみが顕在化している事も稀ではない。従って、診断時にはすでに病期が進行している事が多く、その事が本疾患が予後不良である大きな要因となっている™。

本研究では、上咽頭癌の所属リンパ節転移は腫瘍内における 血管新生の度合に依存するという仮説を立て、それを検証した.

Abbreviations: bFGF, basic fibroblast growth factor; DAB, diaminobenzidine; EBER, EBV encoded small RNA; EBV, Epstein-Barr virus; EGFR, epidermal growth factor receptor; FGFR-1, fibroblast growth factor receptor-1; FITC, fluorescein isothiocyanate; Flk-1, fetal liver kinase-1; Flt-1, fms-like tyrosin kinase-1; ISH, *in situ* hybridization; LMP-1, latent membrane protein-1; KDR, kinase insert domain-containing receptor; PBS, phosphate-buffered saline; TGF- α,

平成8年11月29日受付,平成9年1月10日受理

坂

さらに血管新生を誘導する因子 (血管新生因子) の内, 塩基性線維芽細胞増殖因子 (basic fibroblast growth factor, bFGF), 血管内皮増殖因子 (vascular endothelial growth factor, VEGF) および形質変換増殖因子 (transforming growth factor, TGF) - α との関連性, EBV関連因子である EBV がコードする核内小RNA (EBV encoded small RNAs, EBERs), 潜伏膜蛋白 (latent membrane protein, LMP) -1 との関連性についても検索した.

対象および方法

I. 対象

対象は、1977年6月から1996年5月まで、富山県立中央病院耳鼻咽喉科、石川県立中央病院耳鼻咽喉科、福井県立病院耳鼻咽喉科で上咽頭生検を施行され、上咽頭癌と判明した31例の腫瘍である。組織標本はいずれも10%中性緩衝ホルマリンにて固定後、パラフィン包埋されていたもので、それぞれから厚さ4mmの切片を作成し、HE染色を行い病理組織学的に検討し、それに連続する切片をISH法、免疫組織化学法による検討に用いた。

Ⅱ. 臨床背景因子についての検討

臨床病期分類は、国際癌連合 (Union Internationale Contre le Cancer, UICC) のTNM分類¹⁸に従った.

Ⅲ. 病理組織学的検討

1. 病理組織学的分類 (図1)

病理組織学的分類は光学顕微鏡下に行い, 世界保健機構

(World Health Organization, WHO) の上咽頭癌分類!**のに従った. すなわち, 上咽頭癌の組織型を角化の有無により二つに分け, 1) 扁平上皮癌 (squamous cell carcinoma, WHO-1と表記), 2) 非角化癌 (non-keratinizing carcinoma) とし, さらに非角化癌を分化度の相違により 2) i) 分化型非角化癌 (differentiated non-keratinizing carcinoma, WHO-2と表記), ii) 未分化癌 (undifferentiated carcinoma, WHO-3と表記) とした. ただし, 実際の分類に当たっては, 細胞集団の中で全体として角化層の認められるものを角化とし, 単一細胞で細胞質が好酸性を示し角化傾向をうかがわせるものは角化とはしなかった. また非角化癌の内わずかでも扁平上皮への分化をうかがわせるものはWHO-2とし,全く分化傾向の認められないもののみをWHO-3とした.

2. ISH法によるEBERsの検索

ISH法は、Parkら²⁰⁾、室野²¹⁾の方法に準じてマイクロプローブシステム (MicroProbeTM system) (Fischer Scientific, Pittsburgh, USA) を用いて施行した.

まずキシレン (和光純薬,大阪) とヘモデ (Hemo De) (藤沢薬品,大阪) を 1:3 に混合した溶液で 100 \mathbb{C} 2 分,4 回反応させ脱パラフィンを行った後,100 %エタノールにて6 回洗浄した。ついでペプシン (Biomeda, Foster City, USA) にて 100 \mathbb{C} \mathbb{C} 2 分3 秒反応させた。フルオレスセイン・イソチオシアネート (fluorescein isothiocyanate, FITC) 標識 EBV (EBER) オリゴヌクレオチド (DAKO, Glostrup, Denmark) をプローブとし,25 倍に

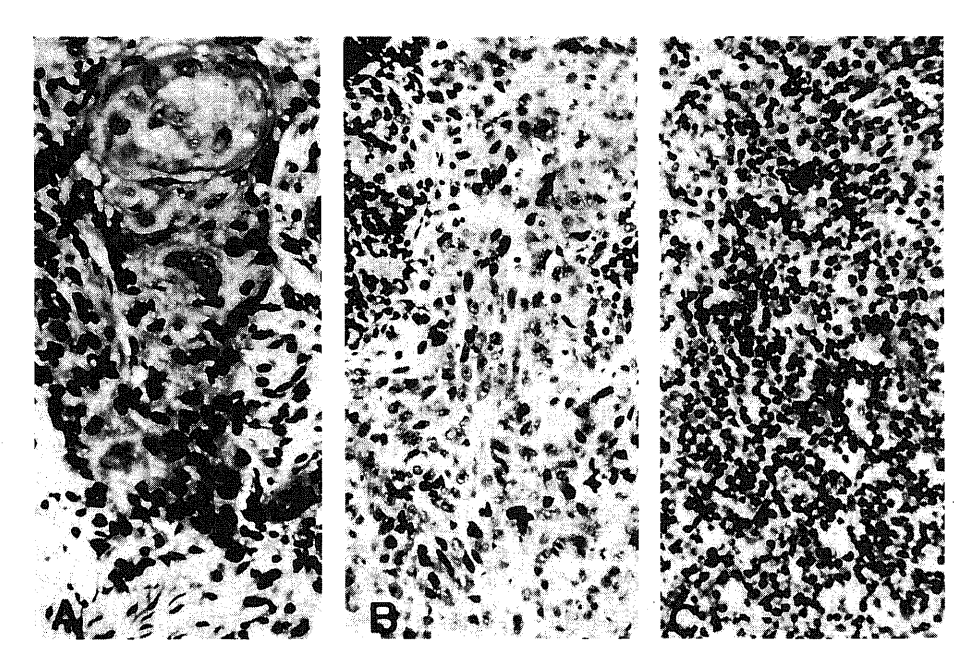


Fig. 1. Light microscopy of three histopathological types of nasopharyngeal carcinomas (HE stain, × 400). (A) Squamous cell carcinoma (WHO-1). This type of nasopharyngeal carcinoma shows squamous differentiation with obvious keratin production and intercellular bridges. (B) Differentiated non-keratinizing carcinoma (WHO-2). This type of carcinoma has cells that show a maturation sequence and has little or no keratin production. The cells have fairly well-defined cell margins and show an arrangement that is stratified or pavemented. (C) Undifferentiated carcinoma (WHO-3). The tumor cells have oval or round vesicular nuclei and prominent nucleoli with indistinct cell margins. This type of carcinoma is heavily admixed with normal lymphocytes.

transforming growth factor- α ; TNF, tumor necrosis factor; TNFR, tumor necrosis factor receptor; TRAF, TNFR-associated factor; VEGF, vascular endothelial growth factor; vWF, von Willebrand factor; WHO, World Health Organization

希釈して、100 ℃で4 分、80 ℃で6 分、65 ℃で12 分ハイブリダイゼーションを行った。アルカリフォスファターゼ標識抗 FITC 抗体 (50 倍希釈、DAKO) を45 ℃で10 分反応させた後、さらに、5 ープロモー4 ークロロー3 ーインドキシルリン酸 (5-bromo-4-chloro-3-indoxyl phosphate) とニトロブルーテトラゾリウムクロライド (nitro blue tetrazolium chloride) を混合した BCIP/NBT (DAKO) を45 ℃で10 分反応させ発色させた。メチルグリーンにて核染色を行い、型の如く脱水、透徹、封入し光学顕微鏡下の観察に用いた。

判定は定性的に陽性と陰性とに分類した.

3. 免疫組織化学法による検索

免疫組織化学法は、Hsuら空のアビジン・ビオチン染色 (avidin biotin peroxidase complex, ABC) 法に準じて行った. 使用した一次抗体はすべて市販のもので、免疫動物、希釈倍数、特異性、トリプシン処理の有無、入手先は表1に示した.

まずパラフィン切片を型の如く脱パラフィン, 親水化した後 0.3%過酸化水素加メタノールにて30分間内因性ペルオキシダ -ゼを阻害した、ホルマリン固定標本では、抗原性が低下する 事があるため, 適宜37℃, 0.1%トリプシン (和光純薬) にて蛋 自分解処理し抗原性の賦活化を行った. 一次抗体を4℃で一晩 反応させた後冷リン酸緩衝液 (phosphate-buffered saline, PBS) (pH 7.4) で5分間, 3回洗浄した. 二次抗体としては, ビオチ ン化ウマ抗マウス Ig G 二次抗体 (X200, Vector Laboratories. Burlingame, USA) またはビオチン化ヤギ抗ウサギIg G二次抗 体 (DAKO) を用い、室温で30分間反応させ、同様にPBSにて 洗浄した. ついで, biotin-strept-avidin peroxidase complex (Strept ABC Complex) (DAKO) と30分間室温で反応させた後 PBSで洗浄した. さらに、0.0006 %過酸化水素加0.05%ジアミ ノベンチジン (diaminobenzidine, DAB) (同仁化学研究所, 熊 本) 溶液にて5分間もしくは10分間発色させた。核染色はメチ ルグリーンにて行い, 型の如く脱水, 透徹, 封入し光学顕微鏡 下の観察に用いた.

陽性対照組織として、抗フォン・ウィルブランド因子 (von Willebrand factor, vWF) 抗体、抗LMP-1抗体にはそれぞれ口蓋扁桃組織、上咽頭癌組織を用いた。さらに抗bFGF抗体、抗VEGF抗体、抗TGF- α 抗体の陽性対照としては、いずれも胎盤組織を用いた。胎盤標本については、金沢大学産科婦人科学講座井上。正樹教授の御好意により供与して頂いた。陰性対照としては、非免疫マウス Ig G (DAKO) または、正常ヤギ血清 (DAKO) を用いた。

腫瘍内血管数の計測にはまず、10倍の視野下に抗vWF抗体

で標識された血管が腫瘍内で最も多いと思われる部位を設定し、200倍の視野の下で一視野内の血管の数を計測して、それを血管新生の指標とした。ただし、血管数の計測に当たり炎症部位は除外した。また、血管内皮細胞が一群として染色されたもので、他の群とは明らかに区別されるものは、その一群を単一の血管として計測した。形態上、腫瘍内血管が分岐しているものについても単一の血管として計測した。

LMP-1については定性的に,腫瘍細胞の一部でも特異的免疫 反応性が見られたものを陽性,全く特異的免疫反応性が認めら れないものを陰性とした.

bFGF、VEGFおよびTGF- α については,一つの切片における免疫反応陽性細胞の多寡を,全腫瘍細胞に対して免疫反応陽性の腫瘍細胞の割合が最も多いと思われる3カ所について光学顕微鏡で200倍の視野下に全腫瘍細胞に対する免疫反応陽性細胞の比を算出し,さらに3カ所の平均値を算出してそれに100を乗じて百分率で示し,その腫瘍組織における腫瘍細胞の免疫反応陽性率とした.免疫反応陽性率について以下の様なスコアを与え表現した.すなわち免疫反応陽性率が,0%以上10%未満のものをスコア0,10%以上20%未満のものをスコア1,20%以上30%未満のものをスコア2,30%以上40%未満のものにはスコア3,の様に示し順次0から9までのスコアを与え、さらに免疫反応陽性率が100%のものにはスコア10を与えた.

Ⅳ. 統計学的処理

TNM分類については、T因子をT1、T2、T3、T4とし、N病期をN0、NI、N2a、N2b、N2c、N3とし、M病期をM0、M1として、実際の統計学的処理にあたっては、順序変数として扱った。増殖因子については、前述のスコアを順序変数として扱った。さらに、微小血管数は間隔変数として扱い、EBERs、LMP-1の発現の有無についてはそれぞれを名義変数として扱った。

名義変数から成る二因子間の検定で、期待値がすべて5以上のものではカイ二乗(χ ²)検定を用い、期待値が5未満のものを含むものではFisherの直接確率計算法による検定を用いた。名義変数から成る二群間における連続変数(順序変数もすくは間隔変数)の有意差の検定にはMann-Whitney U検定を用いた、連続変数からなる二因子間の相関については、Spearmanの順位相関係数で示した。さらに、微小血管数に影響を及ぼす因子として、LMP-1、bFGF、VEGF、TGF- α について重回帰分析を行った。ただし重回帰分析にあたりLMP-1については、陰性例に0、陽性例に1を与えてダミー変数として処理した。いずれも、危険率p<0.05を有意差有りと判定した。

Table 1. List of used primary antibodies

Antibody againt	Dilution	Trypsinization	Source
LMP-1 (monoclonal)	1:50	+	DAKO, Denmark
vWF (polyclonal)	1:200	+	DAKO, Denmark
bFGF* (polyclonal)	1:100	+	Calbiochem, USA
VEGF [†] (polyclonal)	1:200	+	Santa Cruz Biotechnology, USA
TGF- α (monoclonal)	1:100		Calbiochem, USA

monoclonal, monoclonal antibody is derived from a mouse; polyclonal, polyclonal antibody is derived from a rabbit; +, trypsinization was performed; -, trypsinization was not performed; *, anti bFGF antibody is specific for 18kDa protein; †, anti VEGF antibody reacts with the 121, 165 and 189 amino acid splice variants of VEGF.

坂

また, WHO-1もしくは腺癌はそれぞれ1例ずつであったため, それらについては各組織型間の関連について,統計学的検討は 行わなかった.

成組

病理組織学的分類

上咽頭癌原発巣生検標本31例の内訳は、WHO-1が1例 (3.2%)、WHO-2が22例 (71.0%)、WHO-3が7例 (22.6%)、腺癌が1例 (3.2%) であった.

Ⅱ. 染色像、および各病理組織型との関連

1. vWF

血管内皮細胞が特異的に染色され、微小血管数の計測が可能であった。微小血管は主に腫瘍間質に存在しており、WHO-2では胞巣を取り囲み(図2)、またWHO-3では散在する傾向を認めた(図3)。

2. EBERs

EBERsが陽性の腫瘍組織では、ほぼ全ての腫瘍細胞の核に一致して染色が認められた(図4).

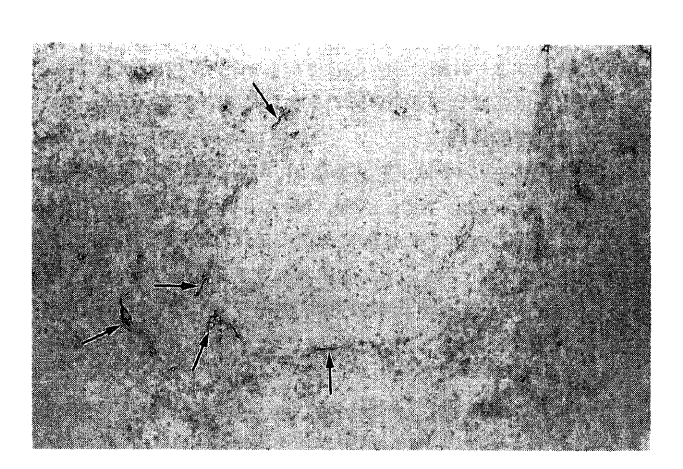


Fig. 2. Immunohistochemical staining for von Wllebrand factor antigen in differentiated non-keratinizing carcinoma (WHO-2) (counterstained with methyl green, × 200). Microvessels highlighted by staining endothelial cells are shown to localize at the tumor stroma encircling each of tumor cell nest (→).

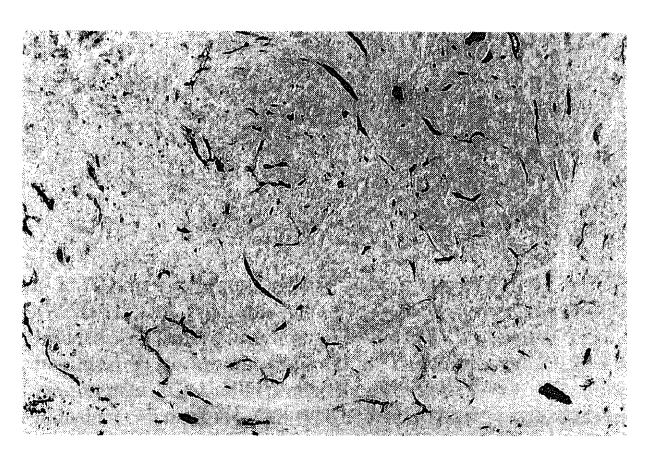


Fig. 3. Immunohistochemical staining for von Willebrand factor in undifferentiated carcinoma (WHO-3) (counterstained with methyl green, × 200). Microvessels highlighted by staining endothelial cells exhibit no pattern relating vessel location to tumor cells in contrast to that of WHO-2.

3. LMP-1

LMP-1が陽性の腫瘍組織では、一部の腫瘍細胞の細胞膜および細胞質の両者、もしくは細胞膜のみに一致して免疫反応性を認めた(図5).

4. bFGF

bFGFは主に腫瘍細胞質に一致して認められ (図 6), 一部の腫瘍組織では腫瘍細胞核にも免疫反応性を認めた (図 7).

5. VEGF

VEGFは主に腫瘍細胞質に一致して認められ、腫瘍細胞が胞巣を形成するものでは、胞巣周辺部の腫瘍細胞で中心部の腫瘍細胞よりも免疫反応性が強い傾向があった(図8). 壊死部周辺での染色像は様々で、特に一定した傾向は認めなかった。

6. TGF- α

TGF-αは, 腫瘍細胞質に一致して認められた (図9).

- Ⅲ. 微小血管数、EBV関連因子、血管新生因子の発現と各病 理組織型の関連
- 1. 微小血管数

微小血管数と各病理組織型の間には関連を認めなかった.

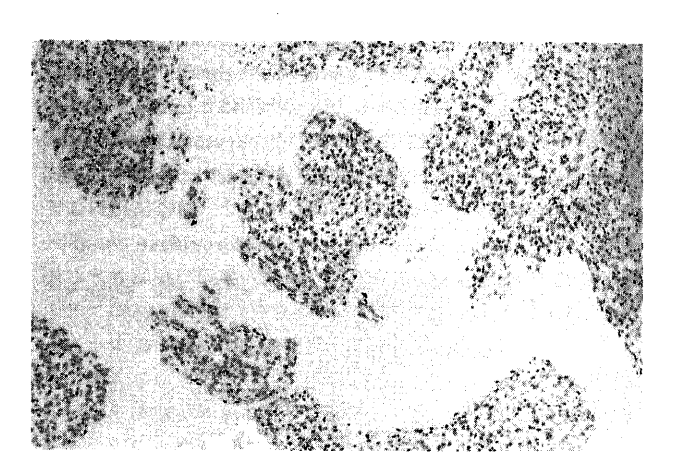


Fig. 4. In situ hybridization for Epstein-Barr virus encoded small RNAs (EBERs) in nasopharyngeal carcinoma (counterstained with methyl green, × 100). Positive reaction is located exclusively in the nuclei of almost all the tumor cells.

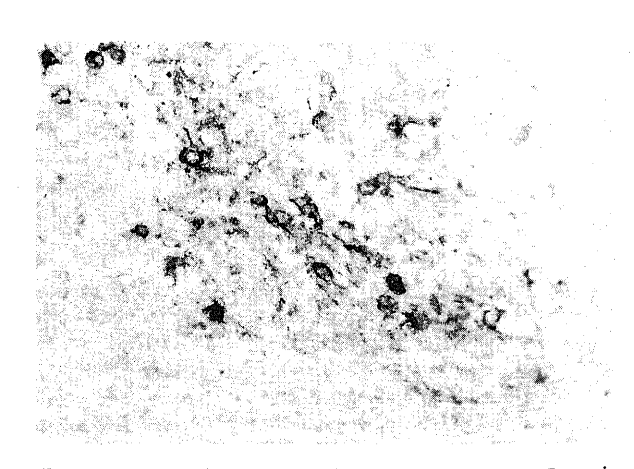


Fig. 5. Immunihistochemical staining for Epstein-Barr virus encoded latent membrane protein-1 (LMP-1) in nasopharyngeal carcinoma (counterstained with methyl green, × 200). Immunoreactivity is present in some of the tumor cells with membrane-associated staining patterns.

2. EBERs

EBERsは、WHO-2で22例中16例 (72.7%)、WHO-3で7例中6例 (85.7%)で、陽性であったが、WHO-1および腺癌ではいずれも陰性であった。EBERsの発現の有無は、各病理組織型間で有意な関連性を認めなかった。

3. LMP-1

LMP-1は31例中8例 (25.8%) で陽性であり,各組織型別では、WHO-2では22例中7例 (31.8%), WHO-3では7例中1例 (14.3%) で陽性であったが、WHO-1および腺癌ではいずれも陰性であった。LMP-1の発現の有無は、各組織型間で有意な関連性を認めなかった。

4. bFGF, VEGF, TGF- α

bFGF, VEGF, TGF- α の発現はいずれも, 各病理組織型間で有意な関連性を認めなかった.

Ⅳ. 微小血管数とT, N, M因子との相関

微小血管数はN因子との有意な正の相関を認めた (Spearman の順位相関係数は0.40, p=0.0297) が,他の因子とは相関を認めなかった.

V. EBV関連因子の発現とT, N, M因子との関連

EBERs が陰性例 (平均順位は, 19.17) では, 陽性例 (平均順

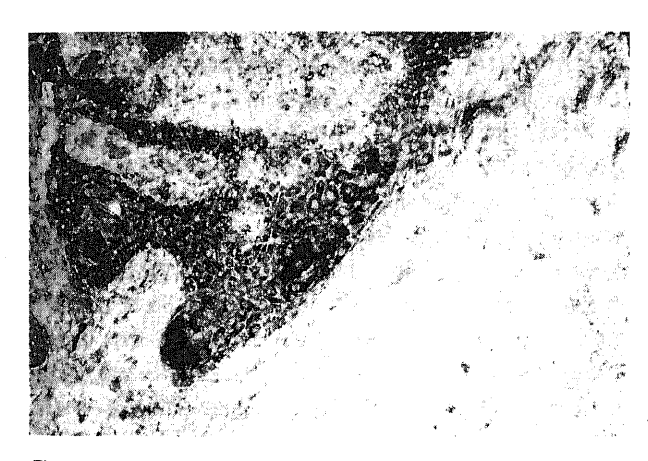


Fig. 6. Immunohistochemical staining for basic fibroblast growth factor (bFGF) in nasopharyngeal carcinoma (counterstained with methyl green, × 200). Immunoreactivity is present in the cytoplasm of tumor cells.

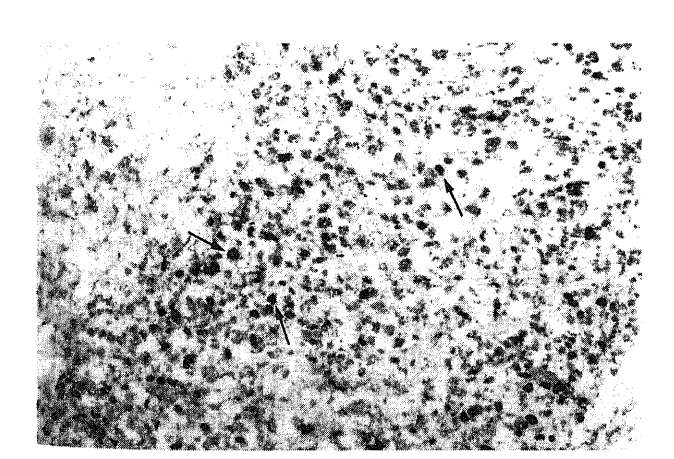


Fig. 7. Immunohistochemical staining for bFGF in nasopharyngeal carcinoma (counterstained with methyl green, × 200). Immunoreactivities are present in the cytoplasm and nuclei (→) of the tumor cells.

位は、14.71) よりも有意にM因子が進行していた (p=0.0328, Mann-Whitneu U検定). その他の因子とEBERsの陽性率の間には有意な関連性を認めなかった.

LMP-1の発現の有無は、いずれの因子間でも有意差を認めなかった。

Ⅵ. 血管新生因子の発現とT, N, M因子との相関 (表2)

VEGFの発現 (p=0.0155), TGF- α の発現 (p=0.0472) は、いずれもN因子との間に有意な正の相関を認めたが、他の因子との間には相関を認めなかった。

Ⅵ. 微小血管数とEBV関連因子の発現との関連 (表3)

LMP-1陽性群では、陰性群と比較して、有意に微小血管数が 多く認められた (p=0.0157).

微小血管数と EBERs の発現の有無の間には関連を認めなかった。

WII. 微小血管数と血管新生因子の発現との相関

微小血管数は、bFGF (Spearman の順位相関係数は0.40, p=0.0305)、VEGF (Spearman の順位相関係数は0.40, p=0.0286)、TGF- α (Spearman の順位相関係数は0.57, p=0.0020) の発現との間にそれぞれ有意な正の相関を認めた、

IX. EBERs とLMP-1 との関連

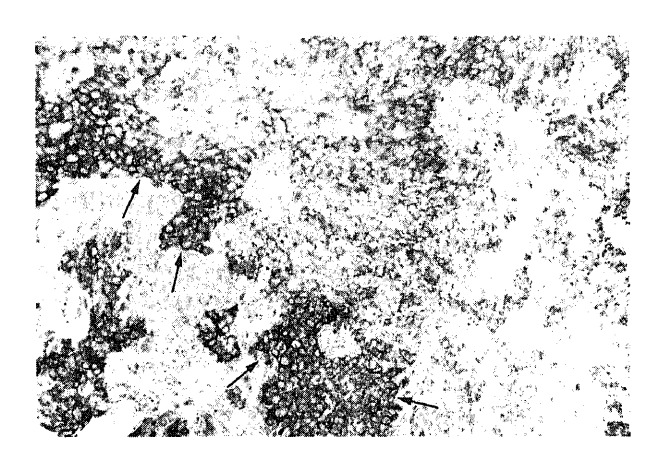


Fig. 8. Immunohistochemical staining for VEGF in infiltrating nasopharyngeal carcinoma (counterstained with methyl green, × 200). Strong VEGF staining intensity is seen at the periphery of the invasive tumor nest (→).

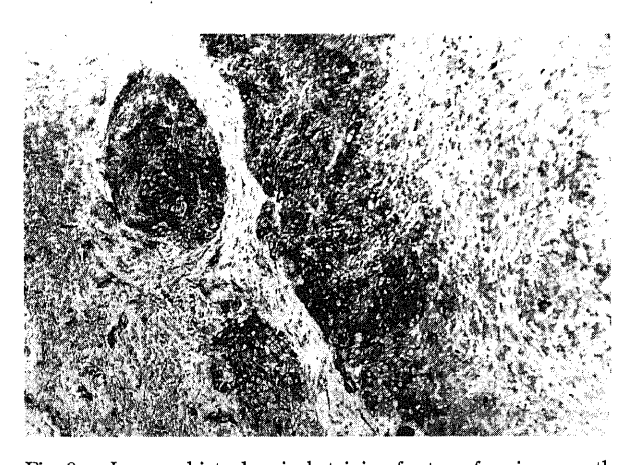


Fig. 9. Immunohistochemical staining for transforming growth factor- α (TGF- α) in nasopharyngeal carcinoma (counterstained with methyl green, \times 200). The tumor cells express immunoreactive TGF- α in their cytoplasms.

Table 2. Correlations between angiogenic factors, and T, N and M factors

Angiogenic	Spearman's rank correlation coefficient			
factors	T factor	N factor	M factor	
bFGF	0.30	0.17	0.03	
TGF- α	-0.26	0.36*	-0.03	
VEGF	0.33	0.44*	-0.19	

^{*} p<0.05 (Spearman's rank correlation test).

Table 3. Correlations between expression of EBV-related factors and microvessel counts

EBV-related factors	Expressions	Mean rank of nicrovessel counts
EBERs	Positive Negative	17.98 11.17
LMP-1	Positive Negative	22.69 13.67 *

^{*} p<0.05 (Mann Whitney U test).

Table 4. Correlations between expression of angiogenic factors

Spearman's rank correlation coefficient	
TGF- α	VEGF
0.55*	0.51* 0.44*
	TGF- α

^{*} p<0.05 (Spearman's rank correlation test).

Table 5. Independent variables in multiple regression analysis

Titles of independent variables	Mean score (SD)
LMP-1	0.26 (0.45)
bFGF	6.85 (2.84)
VEGF	7.281 (2.82)
TGF- α	6.31 (2.81)

Mean value of microvessel counts, dependent variable, is 57.61 (SD, 49.63).

Table 6. Results of multiple regression analysis between independent variables and microvessel counts

Titles of independent variables	Standard regression coefficient
LMP-1	0.401*
bFGF	0.313
VEGF	0.106
TGF- α	0.167

Multiple correlation coefficient is 0.61 (p=0.0138). * p<0.05 (multiple regression analysis).

LMP-1はEBERs 陽性の22例中8例 (36.4%) で陽性であった. EBERs が陰性のものは、すべてLMP-1も陰性であった.

X. EBV関連因子の発現と血管新生因子の発現との関連 EBV関連因子の発現の有無と血管新生因子の発現との間には 関連性を認めなかった.

XI. 血管新生因子の発現相互の関連性 (表 4)

bFGF, TGF- α およびVEGF間では、それぞれ相互に有意な正の相関を認めた。

XII. 重回帰分析 (表 5, 6)

LMP-1が、微小血管数に最も影響を与える因子であり、かつ、統計的に唯一有意であった (標準回帰係数=0.401, p=0.0292). 重相関係数は0.610 (p=0.0138) であった.

考

近年,腫瘍血管新生とリンパ節転移との関連が明らかになって来ている^{5/20}、Smithら²⁴⁾はウサギ角膜にインディア・インクを注入し,角膜に血管新生が始まるまではインクは角膜にとどまるが,血管新生後に初めて同側のリンパ節にインクが移行した事より,血管新生がリンパ節転移に深く関与する事を示した。

本研究では腫瘍血管新生すなわち微小血管数とN因子の進行 度との間に有意な正の相関を認め、上咽頭癌における腫瘍血管 新生とリンパ節転移との関連性が示唆された.一方, Roychowdhury ら²⁰は、微小血管数計測による上咽頭癌におけ る同様の研究を行ったが、微小血管計測数とN因子の間には有 意な相関は認めず、本研究とは異なった結果となった.彼らの 研究ではWHO-1が47%を占めたのに対し、本研究のそれはわ ずか3%であった事、WHO-2および3はWHO-1と比較して初 期からリンパ節転移を来す事10より、対象の病理組織型の分布 の相違がこの様な異なった結果となった理由として考えられ る. 本研究では腫瘍内微小血管数とM因子との間には関連性 を認めなかった. TNM 分類は診断時のもので、仮に遠隔転移 があっても直径が1 mm以下であれば、臨床上の検出は不可能 である. 剖検によるM因子についての報告をまとめると²⁶, 遠 隔転移は87%で認められ、本研究の13%とは大きな隔たりが ある. 本研究で血管新生とM病期について関連性を認めなか った事は、診断時において全例で遠隔転移を正確に検出する事 が極めて困難であるためと考えられる.

bFGF蛋白は極めてヘバリン親和性の高いポリペプチドであり、mRNAの選択的切断により分子量が18 kDa、22 kDa、22.5 kDa、24 kDaの4種類が同定されている **71281、bFGF蛋白はN末端付近に分泌のためのシグナル配列をもたないが、それでも低分子量型bFGF (18 kDa) は細胞外に分泌され、細胞表面受容体を介して作用すると考えられている。この様な分泌機構については、未だ明らかではないが、細胞表面または細胞外基質の硫酸化多糖に結合して細胞外に出て、ヘバリン (heparin) 分解酵素やプラスミン (plasmin) の様な酵素によって遊離されるという機序が考えられている **250、本研究では、抗bFGF抗体として低分子量型と特異的に反応するものを使用した.

bFGF蛋白は、中胚葉および神経外胚葉由来の細胞において DNA合成能、増殖能を持ち、血管内皮細胞に対してはその増殖を誘導し、内皮細胞の運動性、遊走、分化に関与する³⁰⁰.この様なbFGFの血管新生作用は、腫瘍組織においても証明されている³⁰⁾³²⁾。本研究では、bFGFの発現と腫瘍組織内微小血管数 の間に有意な正の相関を認めたことより、bFGFは上咽頭癌における血管新生に重要な役割を果たしている事が示唆された. Janotら知は頭頚部扁平上皮癌におけるbFGFと血管新生との関連性について調べたが、bFGFの発現と腫瘍血管新生との間に関連性を認めなかった. しかし、彼らの対象とした頭頚部扁平上皮癌には上咽頭癌は含まれず、本研究の結果とは必ずしも矛盾しない.

上咽頭癌における血管新生とbFGFの関連性が示唆されたにもかかわらず、本研究ではbFGFの発現とN因子の進展との間には相関を認めなかった。Chen ら³⁴⁰は上咽頭癌培養細胞において、bFGFがFGFR-1を介して自己分泌機構により腫瘍細胞の増殖を抑制する事を示した。つまり上咽頭癌においては、bFGFは血管新生を誘導する事によりリンパ節転移を促進するが、一方で腫瘍細胞の増殖を抑制する事によりリンパ節転移を促進するが、一方で腫瘍細胞の増殖を抑制する事によりリンパ節転移を抑制する事から、リンパ節転移は両者の拮抗関係により成立する可能性が示唆される。さらにFGFR-1はbFGFと結合後、核に輸送される事が知られている³⁵⁰。本研究において検出した低分子量型bFGFが腫瘍細胞核においても免疫反応性を有した事は、FGFR-1に結合後、核に輸送されたbFGFを検出した可能性を示しており、Chenらが述べた様にbFGFが腫瘍細胞により分泌され、それがFGFR-1への結合を介して腫瘍細胞に作用している事と矛盾しない。

VEGF蛋白は、腫瘍腹水中から初めて単離された分子量34~45kDaの糖蛋白で、その分裂増殖活性は血管内皮細胞に特異的である³⁸⁽³⁷⁾. VEGFの受容体である胎児肝活性化因子-1 (fetal liver kinase-1, Flk-1)/活性化因子挿入領域含有受容体 (kinase insert domain-containing receptor, KDR) およびfms 様チロシン活性化因子-1 (fms-like tyrosine kinase-1, Flt-1) は、ともに血管内皮細胞に特異的に発現している³⁸⁽³⁸⁾. VEGFは血管の透過性を亢進させる事も知られており、別名血管透過性因子 (vascular permeability factor, VPF) と呼ばれている. VEGFのmRNAの選択的切断により四種類のmRNAが存在する事が判明しており、それぞれが121、165、189 および206のアミノ酸から成るポリペプチド (polypeptide) をコードしており、その主なものは121、165、189 アミノ酸型である ⁴⁰⁾.

VEGFの発現と悪性腫瘍との関連性については、子宮質癌で、大腸癌で、脳腫瘍で、乳癌でなどで指摘されている。VEGFは腫瘍組織中で血管新生を誘導し間接的に腫瘍増殖を促進するが、腫瘍の増殖、変異には直接的には影響を与えない45%。本研究では、VEGFの発現は微小血管数およびN因子との間に有意な正の相関を認めた。さらにVEGFの発現は胞巣中心部よりも周辺部で強く、腫瘍内微小血管は、腫瘍胞巣を取り囲む様に存在する傾向を認めた。以上の事よりVEGFは、上咽頭癌において血管新生を介して腫瘍のリンパ節転移に寄与している事が示唆された。

VEGFの発現を誘導する因子として、組織の虚血の関与が指摘されている⁴⁰。実際にVEGFの発現は、虚血状態にある腫瘍壊死組織周辺で増強している事が報告されている⁴⁰。本研究では、腫瘍の壊死部とVEGFの発現には一定の傾向は認められなかった。上咽頭癌におけるVEGFの発現に関しては虚血の関与よりも、むしろ上咽頭癌そのものの腫瘍特性である事が示唆された。

TGF- α は分子量 5.5kDa のポリペプチドである.TGF- α は、表皮増殖因子受容体 (epidermal growth factor receptor, EGFR)

への結合能を指標として同定された 45 .この様なリガンド (ligand) と受容体の発現により,腫瘍細胞が自己分泌刺激により増殖する事は多くの悪性腫瘍で明らかになっている 46 .4 46 . TGF- α は血管新生にも深く関与する事が知られており,血管内皮細胞の増殖,遊走および血管の管腔形成に関与する事が判明している 49 .5 10 .本研究では腫瘍細胞におけるTGF- α の発現と微小血管数およびN因子との間に有意な正の相関を認め,TGF- α が上咽頭癌の血管新生およびリンパ節転移に関与している事が示唆された

近年,血管新生能を有する各因子間による相互の発現誘導が明らかになって来ている 520530 . 本研究においては,bFGF,TGF- α ,VEGFの発現に有意な正の相関関係を認め,上咽頭癌においてもその様な相互誘導系が存在する可能性が示唆される.

EBERs は、EBV遺伝子にコードされるポリA鎖の無い低分 子量のRNAで,EBER 1とEBER 2の二種類存在する≒. 1細胞 当たり10⁷個と最も豊富なEBV遺伝子転写産物であり、さらに ホルマリン固定パラフィン包埋標本においても安定であるため ホルマリン固定標本を利用してのISHによる EBERsの検出が 可能となった. EBERs は蛋白をコードせず、その機能は不明 であるが、EBVの存在検出のための有用な指標とする事が出来 る⁵⁵⁾. 本研究ではEBERsの発現率は、WHO-2で72.7%、 WHO-3で85.7%であり、各病理型におけるEBVの密接な関連 性が示唆された、しかし、腫瘍細胞における EBERs の発現と 微小血管数およびN因子との間には関連を認めなかった.この 事から上咽頭癌において、EBERs の発現と血管新生およびリ ンパ節転移との関連性は否定的である。本研究ではEBERs陰 性群で陽性群よりも有意にM因子が進行していた.しかし, 前述の様に診断時に遠隔転移を検出する事は困難であり、 EBERsの発現とM因子との関連については今後長期的な症例 観察を含む検討を要する.

LMP-1はEBV関連膜蛋白の一つで、386個のアミノ酸から成 る6回膜貫通型膜蛋白である5057. LMP-1遺伝子は、単独でラ ット培養線維芽細胞株に腫瘍原性形質変換を起こす事が出来 る50, さらにLMP-1は、ヒト上皮細胞の分化を抑制する事50, Bリンパ球においてbcl-2の発現を誘導しアポトーシス (apoptosis) の回避により細胞を不死化する事⁶⁰⁰が知られてい る. これらの事より LMP-1 は細胞の腫瘍化, 形態変化と密接な 関連性を持つと考えられている。本研究ではLMP-1が発現して いる腫瘍では微小血管数は有意に多かった事より、LMP-1は上 咽頭癌における腫瘍化や分化に影響を及ぼす以外に, 血管新生 誘導能を持つ可能性が示唆された. また, 重回帰分析により LMP-1は本研究で検索した他の増殖因子以上に血管新生に寄与 していることより、LMP-1は上咽頭癌における血管新生におい て重要な役割を果たしており、EBVがLMP-1の発現を介して、 上咽頭癌における血管新生に密接に関与している事が示唆され た.LMP-1は膜関連蛋白である50ため、LMP-1が直接的に血管 内皮細胞の増殖を刺激するとは考えにくく、むしろLMP-1が、 増殖因子受容体の様な細胞膜に局在する何らかの因子の発現を 介して, もしくはその下流の情報伝達系を介して腫瘍細胞にお ける血管新生因子の合成を刺激して腫瘍組織における血管新生 を誘導しているものと思われる. Miller ら⁶¹⁾はLMP-1がEGFR の発現を転写レベルで活性化する事を示した. 上咽頭癌はリン パ球浸潤が著しく血管透過性に富んだ腫瘍であると考えられる

腔

事¹⁹, TGF-α およびVEGFの両者を発現している事で、乾癬と 類似している⁵²⁾、しかし、本研究では、TGF-αとVEGFの発現 は有意な正の相関を示したが、TGF-αおよびVEGFの発現はい ずれもLMP-1の発現の有無とは関連性を認めず、乾癬で認める 様なTGF-αおよびEGFRの発現を介したVEGFの発現誘導機構 の存在は否定的である. 近年LMP-1が, 腫瘍壊死因子受容体 (tumor necrosis factor receptor, TNFR) 族の細胞内領域に会合 するTNFR関連因子 (TNFR- α associated factor, TRAF) 族の蛋 白と結合する事が判明した⁶². LMP-1のC末端細胞質領域の最 初の44アミノ酸は、TRAF3と直接会合する事が出来、また TRAF1とは間接的に結合する事が出来る®. さらにTRAF3は、 TNFR 族の一つである TNFR Iと結合して細胞の増殖を促進 し⁶², また同じくTNFR族であるCD40とも結合して核因子-κB の誘導などにより 631, 細胞の増殖を活性化する. また一方で, LMP-1のTRAF3への会合が、TRAF3と細胞死領域を有する TNFR II⁶⁰ への結合と拮抗し、アポトーシスを回避する事が出 来るとも考えられている.この様に,LMP-1は腫瘍壊死因子 (tumor necrosis factor, TNF) による刺激無しでTNFRの情報伝 達系を利用して細胞の増殖を活性化する事が出来る⁶². 血管新 生因子についてもLMP-1によるTNFR族情報伝達経路の活性化 により、本研究で検索した以外のものの発現が増強している可 能性は有り得る. しかし, 現時点ではLMP-1によるEGFR以外 の増殖因子受容体の発現誘導や血管新生因子の誘導を証明した 報告は無い、今後LMP-1を介した血管新生因子の発現機構につ いて解明する必要がある.

結 論

上咽頭癌の原発巣31例について、免疫組織化学法により腫瘍内微小血管数の計測、およびLMP-1、bFGF、VEGF、TGF- α の発現について検索を行い、さらにISH法によりEBERsの発現を検索して以下の結論を得た.

- 1. 腫瘍内微小血管数とN病期とは有意な正の相関を示し、 上咽頭癌の所属リンパ節転移における血管新生の密接な関与が 示唆された
- 2. bFGF, VEGF, TGF- α はいずれも腫瘍内微小血管数と有意な正の相関を示した事より、これらの因子はいずれも上咽頭癌での血管新生において重要な役割を果たしている事が示唆された。
- 3. LMP-1が陽性の腫瘍では、陰性の腫瘍よりも有意に腫瘍内微小血管数が多く認められた.一方、EBVの存在の有無の指標としたEBERsの発現の有無は、腫瘍内微小血管数の多寡とは関連性を認めなかった.これらの事よりEBVはLMP-1の発現を介して、上咽頭癌における血管新生に関与している事が示唆された.
- 4. 重回帰分析により LMP-1が腫瘍内微小血管数に最も影響を与える因子であった事より, LMP-1は, 上咽頭癌の血管新生において重要な役割を果たしている可能性が示唆された.

謝 話

稿を終えるにあたり、御指導と御校関を賜わりました恩師古川 仭教授に深謝の意を表するとともに、終始、直接の御指導を賜わりました耳鼻咽喉科教室温 慶華留学生に深謝致します。また、貴重な御助言、御協力を賜わりました第一病理学講座中西 功夫教授、河原 栄講師、耳鼻咽喉科教室吉崎 智一助手に心より感謝致します。貴重なる標本を提供して頂きました富山県立中央病院臨床病理科三輪 淳夫部長、同病院

耳鼻咽喉科北川 和久部長,石川県立中央病院病理科車谷 宏部長,同病院耳鼻咽喉科徳田 紀久夫部長,木村 恭之医長,福井県立病院耳鼻咽喉科嘉藤 秀章医長に厚く御礼申し上げます。最後に本研究の遂行に当たりご協力を頂きました耳鼻咽喉科教室西村 俊郎助手ならびに教室の皆様,第一病理学教室の皆様に心より感謝致します。

文 献

- 1) Folkman J, Shing Y. Angiogenesis. J Biol Chem 267: 10931-10934, 1992
- 2) Folkman J. Tumor angiogenesis: therapeutic implications. N Eng J Med 285: 1182-1186, 1971
- 3) Lyng H, Skretting A, Rofstad EK. Blood flow in six human melanoma xenograft lines with different growth characteristics. Cancer Res 52: 584-592. 1992
- 4) Srivastava A, Laidler P, Hughes LE, Woodcock J, Shedden EJ. Neovascularization in human cutaneous melanoma: a quantitative morphological and doppler ultrasound study. Eur J Cancer Clin Oncol 22: 1205-1209, 1986
- 5) Weidner N, Semple JP, Welch WR, Folkman J. Tumor angiogenesis and metastases-correlation in invasive breast carcinoma. N Engl J Med 324: 1-8, 1991
- 6) Samoto K, Ikezaki K, Ono M, Shono T, Kohno K, Kuwano M, Fukui M. Expression of vascular endothelial growth factor and its possible relation with neovascularization in human brain tumors. Cancer Res 55: 1189-1193, 1995
- 7) Guidi AJ, Abu-Jawdeh G, Berse B, Jackman RW, Tognazzi K, Dvorack HF, Brown LF. Vascular permeability factor (vascular endothelial growth factor) expression and angiogenesis in cervical neoplasia. J Natl Cancer Inst 87: 1237-1245, 1995
- 8) Takahashi Y, Kitadai Y, Bucana CD, Cleary KR, Ellis LM. Expression of vascularendothelial growth factor and its receptor, KDR, correlates with vascularity, metastasis, and proliferation of human colon cancer. Cancer Res 155: 3964-3968, 1995
- 9) Warren BA, Shubik P. The growth of the blood supply to melanoma transplants in the hamster cheek pouch. Lab Invest 15: 464-478, 1966
- 10) Greenblatt M, Shubik P. Tumor angiogenesis: transfilter diffusion studies in the hamster by the transparent chamber technique. J Natl Cancer Inst 41: 111-124, 1968
- 11) Folkman J, Klagsbrun M. Angiogenic factors. Science 235: 442-447, 1987
- 12) Old LJ, Boyse EA, Oettgen HF, de Harven E, Geering G, Williamson B, Clifford P. Precipitating antibody in human serum to an antigen present in cultured Burkitt's lymphoma cells. Proc Natl Acad Sci USA 56: 1699-1704, 1966
- 13) Fahraeus R, Hu LF, Ernberg I, Finke J, Rowe M, Klein G, Falk K, Nilsson E, Yadav M, Busson P, Tursz T, Kallin B. Expression of Epstein-Barr virus-encoded proteins in nasopharyngeal carcinoma. Int J Cancer 42: 329-338, 1988
- 14) Chang Y, Tyan YS, Liu ST, Tsai MS, Pao CC. Detection of Epstein-Barr virus DNA sequences in nasopharyngeal carcinoma cells by enzymatic DNA amplification. J Clin Microbiol 28: 2398-2402, 1990
- 15) Howe JG, Steitz JA. Localization of Epstein-Barr virus-

- encoded small RNAs by *in situ* hybridization. Proc Natl Acad Sci IISA 83: 9006-9010, 1986
- 16) Hsu MM, Tu SM. Nasopharyngeal carcinoma in Taiwan. Clinical manifestation and results of therapy. Cancer 52: 362-368, 1983
- 17) Peretz CA, Devineni VR, Marcial-Vega V, Marks JE, Simpson JR, Kucik N. Carcinoma of the nasopharynx: factors affecting prognosis. Int J Rad Oncol Biol Phys 23: 271-280, 1992
- 18) UICC: Pharynx. In P Hermanek, LH Sobin (eds), TNM Classification of Malignant Tumours, 4th ed, p19-22, Springer-Verlag, Berlin, Heidelberg, New York, London, Paris, Tokyo, 1987
- 19) Shanmugaratnam K. Histological Typing of the Upper Respiratory Tract and Ear, 2nd ed, p32-34, Springer-Verlag, Berlin, Heidelberg, New York, London, Paris, Tokyo, Hong Kong, Barcelona, Budapest, 1991
- 20) Park CS, Manahan LJ, Brigati DJ. Automated molecular pathology: one hour *in situ* DNA hybridization. J Histotechnol 14: 219-229. 1991
- 21) 室野重之. 上咽頭癌における Epstein-Barr ウイルス遺伝 子産物および p53 蛋白, bcl-2 蛋白の発現に関する研究. 十全医 会誌 105: 187-202, 1996
- 22) Hsu SM, Raine L, Fanger H. Use of avidin-biotin-peroxidase complex (ABC) in immunoperoxidase technique: a comparison between ABC and unlabeled antibody (PAP) procedure. J Histochem Cytochem 29: 577-580, 1981
- 23) Macchiarini P, Fontanini G, Hardin MJ, Squartini F, Angeletti CA. Relation of neovascularisation to metastasis of non-small-cell lung cancer. Lancet 340: 145-146, 1992
- 24) Smith SS, Basu PK. Mast cells in corneal immune reaction. Can J Ophthalmol 5: 175-183, 1970
- 25) Roychowdhury DF, Tseng A, Fu KK, Weinberg V, Weidner N. New prognostic factors in nasopharyngeal carcinoma. Tumor angiogenesis and C-erbB2 expression. Cancer 77: 1419-1426, 1996
- 26) Cvitkovic E, Bachouchi M, Armand JP. Nasopharyngeal carcinoma. Biology, natural history, and therapeutic implications. Hematol Oncol Clin North Am 5: 821-838, 1991
- 27) Shing Y, Folkman J, Sullivan R, Butterfield C, Murry J, Klagsbrun. Heparin affinity: purification of tumor-derived capillary endothelial cell growth factor. Science 223: 1296-1299, 1984
- 28) Esch F, Baird A, Ling N, Ueno N, Hill F, Denoroy L, Klepper R, Gospodarowicz D, Bohlen P, Guillemin R. Primary structure of bovine pituitary basic fibroblast growth factor (bFGF) and comparison with the amino-terminal sequence of bovine brain acidic FGF. Proc Natl Acad Sci USA 82: 6507-6511, 1985
- 29) Vlodavsky I, Bar-Shavit R, Ishai-Michaeli R, Bashkin P, Fuks Z. Extracellular seqestration and release of fibroblast growth factor: a regulatory mechanism? Trends Biochem Sci 16: 268-271, 1991
- 30) Potgens AJG, Westphal HR, de Waal RMW, Ruiter DJ. The role of vascular permeability factor and basic fibroblast growth

- factor in tumor angiogenesis. Biol Chem Hoppe-Seyler 376: 57-70, $1995\,$
- 31) Schultz-Hector S, Haghayegh S. β -fibroblast growth factor expression in human and murine squamous cell carcinomas and its relationship to regional endothelial cell proliferation. Cancer Res 53: 1444-1449, 1993
- 32) Tannock IA. Population kinetics of carcinoma cells, capillary endothelial cells, and fibroblasts in a transplanted mouse mammary tumor. Cancer Res 30: 2470-2476, 1970
- 33) Janot F, El-Naggar AK, Morrison RS, Liu TJ, Taylor DL, Clayman GL. Expression of basic fibroblast growth factor in squamous cell carcinoma of the head and neck is associated with degree of histologic differentiation. Int J Cancer 64: 117-123, 1995
- 34) Chen JK, Chao HH, Yang VC. Inhibition of the growth of a human nasopharyngeal carcinoma cell line by bFGF is mediated via FGFR-1. FASEB J 9: 1211-1219, 1995
- 35) Zhan X, Hu X, Friedman S, Maciag T. Analysis of endogenous nuclear translocation of fibroblast growth factor-1 in NIH 3T3 cells. Biochem Biophys Res Commun 188: 982-991, 1992
- 36) Senger Dr, Galli S, Dvorak AM, Perruzzi CA, Harvey VS, Dvorak HF. Tumor cells secrete a vascular permeability factor that promotes accumulation of ascites fluid. Science 219: 983-985, 1983
- 37) Ferrara N, Henzel WJ. Pituitary follicular cells secrete a novel heparin binding growth factor specific for vascular endothelial cells. Biochem Biophys Res Commun 161: 851-858, 1989
- 38) Quinn TP, Peters KG, De Vries C, Ferrara N, Williams LT. Fetal liver kinase 1 is a receptor for vascular endothelial growth factor and is selectively expressed in vascular endothelium. Proc Natl Acad Sci USA 90: 7533-7537, 1993
- 39) Peters KG, De Vries C, Williams LT. Vascular endothelial growth factor receptor expression during embryogenesis and tissue repair suggests a role in endothelial differentiation and blood vessel growth. Proc Natl Acad Sci USA 90: 8915-8919, 1993
- 40) Dvorak HF, Brown LF, Detmar M, Dvorak AM. Vascular permeability factor/vascular endothelial growth factor, microvascular hyperpermeability, and angiogenesis. Am J Pathol 146: 1029-1039, 1995
- 41) Yoshiji H, Gomez DE, Shibuya M, Thorgeirsson UP. Expression of vascular endothelial growth factor, its receptor, and othe angiogenic factors in human breast cancer. Cancer Res 56: 2013-2016, 1996
- 42) Kim KJ, Li B, Winer J, Armanini M, Gillet N, Philips HS, Ferrara N. Inhibition of vascular endothelial groeth factor-induced angiogenesis suppresses tumour growth in vivo. Nature 362: 841-844, 1993
- 43) Ferrara N, Winer J, Burton T, Rowland A, Siegel M, Philips HS, Terrell T, Keller GA, Levinson AD. Expression of vascular endothelial growth factor does not promote transformation but confers a growth advantage in vivo to Chinese hamster ovary cells. J Clin Invest 91: 160-170, 1993
- 44) Schweiki D, Itin A, Soffer D, Keshet E. Vascular endothelial growth factor induced hypoxia may mediate hypoxia-initiated

angiogenesis. Nature 359: 843-845, 1992

- 45) Patridge M, Green MR, Langdon JD, Feldman M. Production of TGF- α and TGF-b by altered keratinocytes, skin and oral squamous cell carcinomas-potential autocrine regulation of normal and malignant epithelial cell production. Br J Cancer 60: 542-548, 1989
- 46) Lin C, Woo A, Tsao MS. Expression of transforming growth factor- α lpha in primary human colon and lung carcinoma. Br J Cancer 62: 425-429, 1990
- 47) Yasui W, Sumiyoshi H, Hata J, Kameda T, Ochiai A, Ito H, Tahara F. Epidermal growth factor receptor in human gastric and colonic carcinomas. Cancer Res 48: 137-141, 1988
- 48) Sainsbury JRC, Farndon JR. Epidermal growth factor receptor status as predictor of early recurrence of and death from breast cancer. Lancet 1: 1398-1402, 1987
- 49) Schreiber AB, Winkler ME, Derynck R.Transforming growth factor- α : a more potent angiogenic mediator than epidermal growth factor. Science 232: 1250-1253, 1986
- 50) Ito K, Ryuto M, Ushio S, Ono M, Sugenoya A, Kuraoka A, Shibata Y, Kuwano M. Expression of tissue-type plasminogen activator and its inhibitor couples with development of capillary network by human microvascular endothelial cells on matrigel. J Cell Physiol: 1995
- 51) Okamura K, Morimoto A, Hamanaka R, Ono M, Kohno K, Kuwano M. A model system for tumor angiogenesis: involvement of transforming growth factor- α in tube formation of human microvascular endothelial cells induced by esophageal cancer cells. Biochem Biophys Res Commun 186: 1471-1479, 1992
- 52) Detmar M, Brown LF, Claffey KP, Yeo KT, Kocher O, Jackman RW, Berse B, Dvorak HF. Overexpression of vascular permeability factor/vascular endothelial growth factor and its receptors in psoriasis. J Exp Med 180: 1141-1146, 1994
- 53) Tsai JC, Goldman CK, Gillespie GY. Vascular endothelial growth factor in human glioma cell lines: induced secretion by EGF, PDGF-BB, and bFGF. J. Neurosurg 82: 864-873, 1995
- 54) Henderson EE. Physicochemical-viral synergism during Epstein-Barr virus infection: a review. J Natl Cancer Inst 80: 476-

- 483, 1988
- 55) Chao TY, Chow KC, Chang JY, Wang CC, Tsao TY, Harn HJ, Chi KH. Expression of Epstein-Barr virus-encoded RNAs as a marker for metastatic undifferentiated nasopharyngeal carcinoma. Cancer 78: 24-29, 1996
- 56) Fennewald S, van Santen V, Kieff E. Nucleotide sequence of an mRNA transcribed in latent growth-transforming virus infection indicates that it may encode a membrane protein. J Virol 51: 411-419, 1984
- 57) Leibowitz D, Wang D, Kieff E. Orientation and patching of the latent infection membrane protein encoded by Epstein-Barr virus. J Virol 58: 233-237, 1986
- 58) Wang D, Liebowitz D, Kieff E. An EBV membrane protein expressed in immortalized lymphocytes transforms established rodent cells. Cell 43: 831-840, 1985
- 59) Dawson CW, Rickinson AB, Young LS. Epstein-Barr virus latent membrane protein inhibits human epithelial cell differentiation. Nature 344: 777-780, 1990
- 60) Henderson S, Rowe M, Gregory C, Croom-Carter D, Wang F, Longnecker R, Kieff E, Rickinson A. Induction of bcl-2 expression by Epstein-Barr virus latent membrane protein 1 protects infected B cells from programmed cell death. Cell 65: 1107-1115, 1991
- 61) Miller WE, Earp HS, Raab-Traub N. The Epstein-Barr virus latent membrane protein 1 induces expression of the epidermal growth factor receptor. J Virol 69: 4390-4398, 1995
- 62) Mosialos G, Birkenbach M, Yalamanchili R, VanArsdale T, Ware C, Kieff E. The Epstein-Barr virus transforming protein LMP-1 engages signaling proteins for the tumor necrosis factor receptor family. Cell 80: 389-399, 1995
- 63) Durie FH, Foy TM, Masters SR, Laman JD, Noelle RJ. The role of CD40 in the regulation of humoral and cell-mediated immunity. Immunol Today 15: 406-411, 1994
- 64) Tartaglia LA, Rothe M, Fu YF, Goeddel DV. Tumor necrosis factor's cytotoxic activity is signaled by the p55 TNF receptor. Cell 73: 213-216, 1993

Expressions of Epstein-Barr virus Related Factors and Angiogenic Factors in Nasopharyngeal Carcinomas Naohiro Wakisaka, Department of Otolaryngology, School of Medicine, Kanazawa University, Kanazawa 920 — J. Juzen Med Soc., **106**, 105 — 115 (1997)

Key words nasopharyngeal carcinoma, angiogenesis, metastasis, Epstein-Barr virus related factors, angiogenic factors **Abstract**

The present study was performed to examine the role of angiogenesis on metastasis in primary nasopharyngeal carcinomas. Formalin-fixed paraffin-embedded biopsy specimens were obtained from 31 primary nasopharyngeal carcinomas comprising of one squamous cell carcinoma, 22 differentiated non-keratinizing carcinomas, 7 undifferentiated carcinomas and one adenocarcinoma. Intratumoral microvessels were highlighted by stainig endothelial cells for von Willebrand factor (vWF) by immunohistochemistry. The microvessels were counted (per 200 × field) in the most active area of angiogenesis in light microscopy, as an index of angiogenesis in nasopharyngeal carcinomas. The specimens were also studied regarding the expressions of angiogenic factors including basic fibroblast growth factor (bFGF), vascular endothelial growth factor (VEGF), and transforming growth factor-a (TGF- a). In addition, the specimens were studied regarding the expressions of Epstein-Barr virus encoded small RNAs (EBERs) with in situ hybridization and that of latent membrane protein-1 (LMP-1) by immunohistochemistry to examine the role of Epstein-Barr virus on angiogenesis. The microvessel counts correlated positively and significantly with the grade of regional lymphnode metastases. The expression of bFGF, VEGF, TGF- α and LMP-1 showed significant and positive correlation with the microvessel counts, and the expression of VEGF and TGF- α also correlated significantly with the grade of regional lymphnode metastases. Multiple regression analysis showed that the expression of LMP-1 is the most important factor that affects the microvessel counts in nasopharyngeal carcinoma. These results suggest that angiogenesis plays a critical role in the development of regional lymphnode metastases in nasopharyngeal carcinoma. Furthermore, LMP-1 plays a key role in angiogenesis in nasopharyngeal carcinoma.